

УДК 532.591+517.948

ОСЕСИММЕТРИЧНЫЕ ВИХРЕВЫЕ ДВИЖЕНИЯ ЖИДКОСТИ В ДЛИННОЙ ЭЛАСТИЧНОЙ ТРУБКЕ

А. А. Чесноков

Институт гидродинамики им. М. А. Лаврентьева СО РАН, 630090 Новосибирск

Предложена математическая модель осесимметричного завихренного движения идеальной несжимаемой жидкости в удлиненной трубке с тонкими упругими стенками. Сформулированы необходимые и достаточные условия гиперболичности системы уравнений движения для течений с монотонным по радиусу профилем скорости. Вычислены скорости распространения характеристик и характеристическая форма системы. Доказано существование простых волн, непрерывно примыкающих к заданному стационарному сдвиговому потоку. Найдена группа преобразований, допускаемых системой уравнений, и выписаны подмодели, определяющие инвариантные решения. В результате интегрирования фактор-систем получены новые классы точных решений уравнений движения.

При изучении гидродинамики крупных кровеносных сосудов в работах [1, 2] и др. рассматривалась задача о движении жидкости по трубкам с тонкими эластичными стенками. При этом большая часть аналитических решений задач о распространении возмущений в жидкости и характерных режимах течения либо получена в рамках линейной теории, либо относится к одномерным движениям жидкости. В данной работе исследуется нелинейная модель завихренного осесимметричного течения жидкости в длинной цилиндрической трубке с упругими изотропными стенками. На основе метода обобщенных характеристик [3], предложенного для систем с операторными коэффициентами, определены скорости распространения характеристик и выписаны условия гиперболичности уравнений. Установлено существование решений рассматриваемой модели в классе простых волн. С использованием методов группового анализа дифференциальных уравнений [4] построены классы точных решений уравнений движения.

1. Вывод математической модели. Движение идеальной несжимаемой жидкости в предположении осевой симметрии в безразмерных переменных описывается уравнениями Эйлера

$$U_t + UU_x + VU_r + p_x = 0, \quad \varepsilon^2(V_t + UV_x + VV_r) + p_r = 0, \quad U_x + V_r + V/r = 0. \quad (1.1)$$

Здесь $T = L_0 U_0^{-1} t$, $X = L_0 x$, $r_1 = R_0 r$, $U_1 = U_0 U$, $V_1 = R_0 L_0^{-1} U_0 V$, $p_1 = \rho U_0^2 p$ — время, осевая и радиальная координаты, компоненты вектора скорости и давление; t , x , r , U , V и p — соответствующие безразмерные переменные; L_0 — характерный масштаб по оси X (оси трубки); R_0 — внутренний радиус трубки при нулевом избыточном давлении; ρ — плотность жидкости; U_0 имеет размерность скорости. Предполагается, что жидкость заполняет всю область течения (внутренность трубки). В случае длинной цилиндрической трубки параметр $\varepsilon = R_0 L_0^{-1}$ является малым, и членами порядка ε^2 в уравнениях (1.1) можно пренебречь. Тогда второе уравнение в (1.1) принимает вид $p_r = 0$. Поэтому при

деформациях, возникающих под действием избыточного давления, трубка будет сохранять цилиндрическую форму. Это позволяет записать граничные условия в виде

$$R_t + U(t, x, R)R_x = V(t, x, R), \quad V(t, x, 0) = 0, \quad (1.2)$$

где $R = R_1 R_0^{-1}$; $R_1(t, x)$ — размерный радиус деформированной трубки. Уравнения (1.1) (при $\varepsilon = 0$) и (1.2) представляют собой незамкнутую систему для определения следующих безразмерных величин: поля скоростей $U(t, x, r)$, $V(t, x, r)$, давления жидкости $p(t, x)$ и внутреннего радиуса трубки $R(t, x)$ в области $-\infty < x < \infty$, $0 \leq r \leq R$ при $t \geq 0$.

Для замыкания уравнений движения требуется задать зависимость между деформацией эластичной трубки и избыточным давлением внутри нее. В простейшем случае небольших деформаций можно использовать закон Гука. Однако, как показано в [2], формулировка закона Гука зависит от характера решаемой задачи и должна быть неодинаковой для различных скоростей изменения площади сечения трубки. В литературе (см. [1, 2]) используются следующие варианты: $p_1 = C(S - 1) + p_0$, $p_1 = C(1 - 1/S) + p_0$, $p_1 = C \ln S + p_0$ и др. Здесь $S(t, x) = R^2$ — отношение площади поперечного сечения деформированной трубки к площади сечения недеформированной трубки; $C = E\delta/d$ — эластичность стенок; E — модуль Юнга; d — средний диаметр; δ — толщина трубки. В первом порядке разложения в ряд Тейлора все приведенные выше формулы совпадают. Будем считать, что зависимость безразмерного давления от квадрата радиуса задана некоторым дважды дифференцируемым соотношением $p = p(R^2/2)$, причем $p' > 0$.

Рассматриваемую задачу с помощью замены переменных [5]

$$y = r^2/2, \quad u = U, \quad v = rV, \quad h = R^2/2 \quad (1.3)$$

можно свести к исследованию плоскопараллельных течений идеальной жидкости в канале с твердым ровным дном $y = 0$ и упругой верхней стенкой $y = h(t, x)$. Действительно, в новых переменных уравнения (1.1) (при $\varepsilon = 0$), (1.2) имеют вид

$$\begin{aligned} u_t + uu_x + vv_y + p_x = 0, \quad u_x + v_y = 0, \quad p = p(h), \\ h_t + u(t, x, h)h_x = v(t, x, h), \quad v(t, x, 0) = 0. \end{aligned} \quad (1.4)$$

Отметим, что в случае удлиненного канала завихренность ω пропорциональна u_y . В отсутствие завихренности система (1.4) описывает одномерные течения в упругой трубке [1]. В частном случае, когда $p = h$, уравнения (1.4) совпадают с известными уравнениями вихревой мелкой воды [6]. Плоскопараллельные завихренные движения жидкости со свободной границей и в канале с твердыми неподвижными стенками рассматривались в работах [5–13] и др. Таким образом, в силу (1.3) описание завихренных осесимметричных движений жидкости в удлиненной эластичной трубке сводится к определению функций $u(t, x, y)$, $v(t, x, y)$, $h(t, x)$ из системы (1.4).

В ряде случаев анализ уравнений движения удобно проводить в эйлерово-лагранжевой системе координат, переход к которой осуществляется заменой переменной [7]

$$y = \Phi(t, x, \lambda) \quad (0 \leq \lambda \leq 1), \quad (1.5)$$

где функция $\Phi(t, x, \lambda)$ — решение задачи Коши

$$\Phi_t + u(t, x, \Phi)\Phi_x = v(t, x, \Phi), \quad \Phi(0, x, \lambda) = \Phi_0(x, \lambda), \quad (1.6)$$

причем $\Phi(t, x, 0) = 0$, $\Phi(t, x, 1) = h(t, x)$. Замена (1.5) обратима при условии $\Phi_\lambda \neq 0$. Далее считаем, что $\Phi_\lambda > 0$. Из уравнений (1.4), (1.6) получаем систему для определения функций $u(t, x, \lambda)$, $H(t, x, \lambda) = \Phi_\lambda(t, x, \lambda)$

$$u_t + uu_x + p' \left(\int_0^1 H d\lambda \right) \int_0^1 H_x d\lambda = 0, \quad H_t + (uH)_x = 0. \quad (1.7)$$

Если функции u и H найдены, то известна верхняя граница канала $h(t, x) = \int_0^1 H d\lambda$. Формулы $p = p(h)$, $\Phi_\lambda = H$, $\Phi(t, x, 0) = 0$ и (1.6) позволяют определить давление, функцию Φ и вертикальную компоненту v вектора скорости.

2. Условия гиперболичности уравнений движения. Уравнения (1.7) можно записать в виде

$$\mathbf{U}_t + A\mathbf{U}_x = 0, \quad (2.1)$$

где $\mathbf{U} = (u, H)^T$; A — матрица с операторными коэффициентами, действующая на произвольную вектор-функцию $\varphi = (\varphi_1, \varphi_2)^T$ по правилу

$$A\varphi = \left(u\varphi_1 + p' \left(\int_0^1 H d\lambda \right) \int_0^1 \varphi_2 d\lambda, H\varphi_1 + u\varphi_2 \right)^T.$$

Согласно [3] характеристическая кривая системы (2.1) определяется дифференциальным уравнением $x'(t) = k(t, x)$, где k — собственное значение оператора A^* (скорость распространения характеристики). Решение уравнения

$$(\mathbf{F}, (A - kI)\varphi) = 0 \quad (2.2)$$

относительно векторного функционала $\mathbf{F} = (F_1, F_2)$ ищется в классе локально интегрируемых либо обобщенных функций. Действие функционала \mathbf{F} осуществляется по переменной λ , при этом t и x рассматриваются как параметры; I — тождественное отображение. В результате действия функционала \mathbf{F} на уравнение (2.1) получаем соотношение на характеристике

$$(\mathbf{F}, \mathbf{U}_t + k\mathbf{U}_x) = 0. \quad (2.3)$$

Система (2.1) является гиперболической, если все собственные значения k вещественные и совокупность соотношений на характеристиках (2.3) эквивалентна уравнениям (2.1).

По структуре система уравнений (1.7) близка к интегродифференциальной системе, описывающей в эйлерово-лагранжевых координатах плоскопараллельные завихренные движения идеальной баротропной жидкости со свободной границей. Для модели баротропной жидкости скорости распространения характеристик, характеристическая форма системы и условия гиперболичности получены в [8]. Поэтому в данной работе промежуточные выкладки опущены.

Несложный анализ показывает, что нетривиальные решения уравнения (2.2) существуют только для $k = k_j$, удовлетворяющих характеристическому уравнению

$$\chi(k) = 1 - p' \left(\int_0^1 H d\lambda \right) \int_0^1 \frac{H d\lambda}{(u - k)^2} = 0, \quad (2.4)$$

и для значений $k = k^\lambda$, принадлежащих интервалу изменения функции $u(t, x, \lambda)$. Для течений с монотонным по глубине профилем скорости $u_\lambda \neq 0$ (пусть для определенности $u_\lambda > 0$) уравнение (2.4) имеет два вещественных корня $k_1 < u_0 = u(t, x, 0)$ и $k_2 > u_1 = u(t, x, 1)$. Это следует из того, что $\chi(k) \rightarrow 1$ при $|k| \rightarrow \infty$, $\chi(k) \rightarrow -\infty$ при $k \rightarrow u_0$, $k \rightarrow u_1$ ($p' > 0$). Кроме того, $\chi'(k) < 0$, если $k < u_0$, и $\chi'(k) > 0$, если $k > u_1$. Функционалы, соответствующие собственным значениям k_1 , k_2 и k^λ , совпадают с полученными в [8] и имеют вид

$$(\mathbf{F}^j, \varphi) = \int_0^1 \frac{H\varphi_1}{(u - k_j)^2} d\lambda - \int_0^1 \frac{\varphi_2}{u - k_j} d\lambda \quad (j = 1, 2), \quad (\mathbf{F}^{\lambda 1}, \varphi) = -\varphi_1'(\lambda) + u_\lambda H^{-1}\varphi_2(\lambda),$$

$$(\mathbf{F}^{\lambda 2}, \varphi) = \varphi_1(\lambda) + p' \left(\int_0^1 H d\nu \right) \int_0^1 \frac{H(\nu)(\varphi(\nu) - \varphi(\lambda))}{(u(\nu) - u(\lambda))^2} d\nu - \int_0^1 \frac{\varphi(\nu)}{u(\nu) - u(\lambda)} d\nu$$

(интегралы вычисляются в смысле главного значения, зависимость функций от t, x опущена для сокращения записи).

Для приведения системы (1.7) к характеристической форме подействуем на уравнения собственными функционалами F^j ($j = 1, 2, \lambda 1, \lambda 2$). После преобразований получим

$$\begin{aligned} \int_0^1 \frac{H(\nu)(u_t(\nu) + k_j u_x(\nu))}{(u(\lambda) - k_j)^2} d\nu - \int_0^1 \frac{H_t(\nu) + k_j H_x(\nu)}{u(\lambda) - k_j} d\nu &= 0, \\ u_{\lambda t} + uu_{\lambda x} - u_{\lambda} H^{-1}(H_t + uH_x) &= 0, \\ u_t + uu_x + p' \left(\int_0^1 H d\lambda \right) \int_0^1 \frac{H(\nu)(u_t(\nu) + u(\lambda)u_x(\nu) - u_t(\lambda) - u(\lambda)u_x(\lambda))}{(u(\lambda) - u(\nu))^2} d\nu - \\ &- p' \left(\int_0^1 H d\lambda \right) \int_0^1 \frac{H_t(\nu) + u(\lambda)H_x(\nu)}{u(\lambda) - u(\nu)} d\nu = 0. \end{aligned} \tag{2.5}$$

Условия гиперболичности уравнений (1.7) формулируются в терминах комплексных функций $\chi^{\pm}(t, x, \lambda)$ — предельных значений аналитической функции $\chi(z)$ из верхней и нижней полуплоскости на отрезке $[u_0, u_1]$:

$$\chi^{\pm} = 1 + p'(h) \left(\frac{1}{\omega_1(u_1 - u(\lambda))} - \frac{1}{\omega_0(u_0 - u(\lambda))} - \int_0^1 \left(\frac{1}{\omega} \right)_{\nu} \frac{d\nu}{u(\nu) - u(\lambda)} + \pi i \left(\frac{1}{\omega} \right)_{\lambda} \frac{1}{u_{\lambda}} \right).$$

Здесь $\omega = u_{\lambda} H^{-1}$; $\omega_0 = \omega(t, x, 0)$; $\omega_1 = \omega(t, x, 1)$; i — мнимая единица.

Теорема. Пусть u, ω — дифференцируемые функции, $u_{\lambda}, \omega_{\lambda}, H$ удовлетворяют условию Гёльдера по переменной λ , причем $u_{\lambda} \neq 0, \chi^+ \neq 0$. Тогда условия

$$\chi^{\pm}(\lambda) \neq 0, \quad \Delta \arg(\chi^+(\lambda)/\chi^-(\lambda)) = 0 \tag{2.6}$$

(приращение аргумента вычисляется при изменении λ от 0 до 1) являются необходимыми и достаточными для гиперболичности уравнений (1.7).

Доказательство теоремы аналогично приведенному в [8]. Таким образом, в области гиперболичности уравнения (1.7) эквивалентны соотношениям на характеристиках (2.5).

3. Существование простых волн. Простыми волнами будем называть решения уравнений (1.7) вида

$$u = u(\alpha(t, x), \lambda), \quad H = H(\alpha(t, x), \lambda). \tag{3.1}$$

Такие решения для уравнений вихревой мелкой воды анализировались в [9]. В соответствии с (3.1) функции $u(\alpha, \lambda), H(\alpha, \lambda)$ определяются из системы

$$(u - k)u_{\alpha} + p' \left(\int_0^1 H d\lambda \right) \int_0^1 H_{\alpha} d\lambda = 0, \quad (u - k)H_{\alpha} + H u_{\alpha} = 0, \quad k = -\frac{\alpha_t}{\alpha_x}. \tag{3.2}$$

Из формулы (2.1) следует, что простые волны уравнений (1.7) являются решениями системы $(A - kI)\mathbf{U}_{\alpha} = 0$, а соотношения на характеристиках принимают вид $(\mathbf{F}^j, (A - kI)\mathbf{U}_{\alpha}) =$

$(k_j - k)(\mathbf{F}^j, \mathbf{U}_\alpha) = 0$ ($j = 1, 2, \lambda_1, \lambda_2$). В области гиперболичности уравнения (1.7) эквивалентны соотношениям на характеристиках. Поэтому нетривиальные решения в классе простых волн существуют только в том случае, когда k совпадает с одним из корней характеристического уравнения (2.4) ($k = k_1(\alpha)$, $k = k_2(\alpha)$) или принадлежит отрезку изменения функции u ($k = u(\alpha, \lambda(\alpha))$). В работе доказываются существование простых волн, отвечающих дискретному характеристическому спектру. Рассмотрим случай $k = k_2(\alpha)$

($k_2 > u$). В качестве переменной α возьмем функцию $h(t, x) = \int_0^1 H d\lambda$.

Характеристики простой волны распространяются с постоянными скоростями $x'(t) = k$, и в пространстве переменных (t, x, λ) область определения простой волны покрыта семейством плоскостей $h = \text{const}$, на которых функции u , H зависят только от переменной λ . Рассмотрим задачу о примыкании простой волны к заданному сдвиговому

потoku $u = u_0(\lambda)$, $H = H_0(\lambda)$ по характеристике $h = h_0 = \int_0^1 H_0(\lambda) d\lambda$. Из системы (3.2) и уравнения (2.4) для определения функций $u(h, \lambda)$, $H(h, \lambda)$, $u_\lambda(h, \lambda)$ и $k(h)$ получаем задачу

$$\begin{aligned} u_h &= -\frac{p'(h)}{u-k}, & H_h &= \frac{p'(h)H}{(u-k)^2}, & u_{\lambda h} &= \frac{p'(h)u_\lambda}{(u-k)^2}, \\ k_h &= -\left(\frac{3p'(h)}{2} \int_0^1 \frac{H d\lambda}{(u-k)^4} + \frac{p''(h)}{(p'(h))^2}\right) \left(\int_0^1 \frac{H d\lambda}{(u-k)^3}\right)^{-1}, \end{aligned} \quad (3.3)$$

$$u|_{h=h_0} = u_0(\lambda), \quad H|_{h=h_0} = H_0(\lambda), \quad u_\lambda|_{h=h_0} = u'_0(\lambda), \quad k|_{h=h_0} = k_2^0,$$

где k_2^0 — корень уравнения $p'(h) \int_0^1 (u_0(\lambda) - k)^{-2} H(\lambda) d\lambda = 1$ такой, что $k_2^0 > u_0(\lambda)$.

Отметим следующее свойство простых волн: если $u(h_0, \lambda_1) \neq u(h_0, \lambda_2)$, то всюду в области определения $u(h, \lambda_1) \neq u(h, \lambda_2)$. Это вытекает из однородности уравнения для разности $s(h) = u(h, \lambda_1) - u(h, \lambda_2)$:

$$s_h = \frac{p'(h)}{(u(h, \lambda_1) - k(h))(u(h, \lambda_2) - k(h))} s(h), \quad s(h_0) = 0.$$

Поэтому выполнения условия монотонности профиля скорости достаточно потребовать при $h = h_0$.

Теорема. Пусть $u_0(\lambda)$ — непрерывно дифференцируемая, $H_0(\lambda)$ — непрерывная на отрезке $[0, 1]$ функции такие, что

$$u'_0(\lambda) > 0, \quad H_0(\lambda) > \delta > 0, \quad k_2^0 > u_0(1) + \delta, \quad (\omega_0(\lambda))^{-1} = H_0(\lambda)(u'_0(\lambda))^{-1} \geq a > 0, \quad (3.4)$$

и выполнены условия (2.6). Тогда система уравнений (3.3) имеет единственное решение на любом интервале $h \in (0, b]$ ($h_0 \in (0, b]$), причем $u(h, \lambda)$ — дифференцируемая, $H(h, \lambda)$ — непрерывная функции.

ДОКАЗАТЕЛЬСТВО. Введем банахово пространство B элементов u , u_λ , H , k с нормой

$$\|\mathbf{V}\| = \max_\lambda |u| + \max_\lambda |u_\lambda| + \max_\lambda |H| + |k|.$$

Уравнения (3.3) можно представить в векторном виде

$$\frac{d\mathbf{V}}{dh} = \mathbf{G}(\mathbf{V}), \quad \mathbf{V}(h_0) = \mathbf{V}_0 \quad (3.5)$$

($\mathbf{G}(\mathbf{V})$ — оператор в пространстве B). Воспользуемся известной теоремой [14]: если существует $\varepsilon > 0$ такое, что при $\|\mathbf{V} - \mathbf{V}_0\| < \varepsilon$ справедливы неравенства

$$\|\mathbf{G}(\mathbf{V})\| \leq M, \quad \|\mathbf{G}(\mathbf{V}_1) - \mathbf{G}(\mathbf{V}_2)\| \leq N\|\mathbf{V}_1 - \mathbf{V}_2\|, \quad (3.6)$$

то задача (3.5) при $|h - h_0| < \varepsilon_1 = \min(\varepsilon M^{-1}, N^{-1})$ имеет единственное решение $\mathbf{V}(h) \in B$ такое, что $\|\mathbf{V} - \mathbf{V}_0\| \leq \varepsilon$.

Проверим выполнение условия приведенной теоремы. Для элементов пространства B из шара $\|\mathbf{V} - \mathbf{V}_0\| < \delta/2$ в силу (3.4) справедливы неравенства $|u - k| \geq |u_0 - k_0| - |u - u_0 + k - k_0| > \delta/2$, $|H| \geq |H_0| - |H - H_0| > \delta/2$. Ввиду непрерывности функций, определяющих нелинейное отображение $\mathbf{G}(\mathbf{V})$ при $|u - k| > \delta/2$, $|H| > \delta/2$, существуют постоянные M, N , зависящие от δ и $\|\mathbf{V}_0\|$, для которых справедливы неравенства (3.6). Поэтому существует единственное решение уравнений (3.5) при $|h - h_0| < \varepsilon_1$. Локальная теорема доказана.

Для доказательства существования простых волн в целом по h используются априорные оценки

$$\frac{a\sqrt{hp'(h)}}{a\sqrt{p'(h)} + \sqrt{h}} \leq k - u \leq \frac{h}{a} + \sqrt{hp'(h)}. \quad (3.7)$$

Из второго уравнения системы (2.5) следует, что в области простой волны завихренность $\omega = \omega_0(\lambda) = u'_0(\lambda)/H_0(\lambda)$. Поэтому $\omega^{-1} = \omega_0^{-1} \geq a > 0$. Неравенства

$$0 < k - u_1 \leq k - u \leq k - u_0, \quad (3.8)$$

уравнение (2.4) и выражение $h = \int_0^1 H d\lambda = \int_{u_0}^{u_1} \omega^{-1} du$ позволяют получить следующие оценки:

$$k - u_0 \geq \sqrt{hp'(h)}, \quad k - u_1 \leq \sqrt{hp'(h)}, \quad u_1 - u_0 \leq a^{-1}h. \quad (3.9)$$

Из соотношения (2.4) имеем

$$1 = p' \int_0^1 \frac{H d\lambda}{(u - k)^2} = p' \int_{u_0}^{u_1} \frac{du}{\omega(u - k)^2} \geq ap' \int_{u_0}^{u_1} \frac{du}{(u - k)^2} = \left(\frac{1}{u_0 - k} - \frac{1}{u_1 - k} \right) ap'. \quad (3.10)$$

Из (3.9) и (3.10) получаем

$$k - u_1 \geq \frac{ap'(h)(k - u_0)}{k - u_0 + ap'(h)} \geq \frac{a\sqrt{hp'(h)}}{a\sqrt{p'(h)} + \sqrt{a}}, \quad (3.11)$$

$$k - u_0 = k - u_1 + (u_1 - u_0) \leq \sqrt{hp'(h)} + \frac{h}{a}.$$

Таким образом, неравенства (3.7) следуют из (3.8) и (3.11).

Использование априорных оценок (3.7) и уравнений (3.3) позволяет доказать ограниченность функций u, u_λ, H и k на произвольном промежутке $h \in [\sigma, b]$ ($0 < \sigma < h_0 < b$). При этом будут выполнены неравенства $|u - k| > \varepsilon(\sigma, b, \|\mathbf{V}_0\|)$, $|H| > \varepsilon(\sigma, b, \|\mathbf{V}_0\|)$. Теорема доказывается повторным применением локальной теоремы существования решения задачи (3.3). Теорема доказана.

Построение простой волны завершается решением задачи Коши $h_t + k(h)h_x = 0$, $h|_{t=0} = \tau(x)$. В результате получаем пару функций $u(h(t, x), \lambda)$, $H(h(t, x), \lambda)$, удовлетворяющих системе (1.7).

ЗАМЕЧАНИЕ. Простыми волнами уравнений (1.4) будем называть частные решения вида

$$u = u(\alpha(t, x), y), \quad v = \alpha_x \tilde{v}(\alpha(t, x), y), \quad h = h(\alpha(t, x)). \quad (3.12)$$

4. Симметрии и инвариантные решения. Построение точных решений проводится в предположении, что избыточное давление жидкости в трубке связано с площадью поперечного сечения степенным законом, т. е.

$$p(h) = C_1 h^\gamma + C_2 \quad (\gamma \neq 0), \quad (4.1)$$

где C_1, C_2, γ — постоянные. Часто для замыкания уравнений движения жидкости в эластичных трубках используется именно такая аппроксимация (h пропорциональна S). Следуя [10], для упрощения граничных условий в (1.4) сделаем замену переменных:

$$z = \frac{y}{h(t, x)}, \quad w = \frac{dz}{dt} = \frac{1}{h} \left(v - \frac{y}{h} (h_t + u h_x) \right). \quad (4.2)$$

В силу (1.4), (4.2) и (4.1) для определения функций $u(t, x, z), w(t, x, z), \eta(t, x) = C_1 h^\gamma$ получаем уравнения

$$u_t + u u_x + w u_z + \eta_x = 0, \quad \eta_t + u \eta_x + \gamma \eta (u_x + w_z) = 0, \quad w|_{z=0} = w|_{z=1} = 0. \quad (4.3)$$

Вычислим группу преобразований, допускаемую уравнениями (4.3). Для этого систему (4.3) дополним уравнением $\eta_z = 0$ и подействуем на систему (без граничных условий) первым продолжением оператора $X = \xi^t \partial_t + \xi^x \partial_x + \xi^z \partial_z + \zeta^u \partial_u + \zeta^w \partial_w + \zeta^\eta \partial_\eta$ (ξ^i, ζ^j — функции переменных t, x, z, u, w, η). После преобразований система определяющих уравнений принимает вид

$$\begin{aligned} \xi_{tt}^t &= \xi_{tx}^x, & \xi_{tt}^x &= \xi_{xx}^x = 0, & \xi_{tz}^z &= (2/\gamma - 1) \xi_{tx}^x, & \xi_{xz}^z &= \xi_{zz}^z = 0, \\ \zeta^u &= (\xi_x^x - \xi_t^t) u + \xi_t^x, & \zeta^w &= (\xi_z^z - \xi_t^t) w + \xi_t^z + u \xi_x^z, & \zeta^\eta &= 2(\xi_x^x - \xi_t^t) \eta, \end{aligned} \quad (4.4)$$

где $\xi^t = \xi^t(t)$; $\xi^x = \xi^x(t, x)$; $\xi^z = \xi^z(t, x, z)$. Из этих уравнений следует, что ξ^z — линейная по переменной z функция. Использование граничных условий в (4.3) приводит к соотношениям $\xi^z|_{z=0} = 0, \xi^z|_{z=1} = 0$. Следовательно, $\xi^z \equiv 0$. Интегрируя уравнения (4.4) (при $\gamma \neq 2$), находим алгебру Ли L_5 допускаемых операторов: $X_1 = \partial_t, X_2 = \partial_x, X_3 = t \partial_x + \partial_u, X_4 = t \partial_t + x \partial_x - w \partial_w, X_5 = x \partial_x + u \partial_u + 2\eta \partial_\eta$. В случае $\gamma = 2$ добавляется оператор $X_6 = t^2 \partial_t + tx \partial_x + (x - tu) \partial_u - 2tw \partial_w - 2t\eta \partial_\eta$.

Ниже перечислены все представители оптимальной системы подалгебр алгебры Ли L_5 ранга один [12]: 1) X_1 ; 2) X_2 ; 3) X_3 ; 4) $X_1 + X_3$; 5) X_4 ; 6) $X_3 + X_4$; 7) $X_1 + X_5$; 8) $X_2 - X_4 + X_5$; 9) $\alpha X_4 + X_5$.

Подмодели. Для представителей оптимальной системы ранга один приводятся набор базисных инвариантов J , представление решения и фактор-система E/H ($H(\alpha_i X_i)$ обозначает подалгебру).

1. $H(X_1), J = (x, z, u, w, \eta)$. Представление решения

$$u = u(x, z), \quad w = w(x, z), \quad \eta = \eta(x).$$

Фактор-система E/H

$$u u_x + w u_z + \eta_x = 0, \quad u \eta_x + \gamma \eta (u_x + w_z) = 0, \quad w|_{z=0} = w|_{z=1} = 0. \quad (4.5)$$

2. $H(X_2), J = (t, z, u, w, \eta)$. Представление решения

$$u = u(t, z), \quad w = w(t, z), \quad h = h(t).$$

Фактор-система E/H

$$u_t + w u_z = 0, \quad \eta_t + \gamma \eta w_z = 0, \quad w|_{z=0} = w|_{z=1} = 0. \quad (4.6)$$

3. $H(X_3)$, $J = (t, z, tu - x, w, \eta)$. Представление решения

$$u = (\varphi(t, z) + x)t^{-1}, \quad w = w(t, z), \quad \eta = \eta(t).$$

Фактор-система E/H

$$\varphi_t + w\varphi_z = 0, \quad \eta_t + \gamma\eta(t^{-1} + w_z) = 0, \quad w|_{z=0} = w|_{z=1} = 0. \quad (4.7)$$

4. $H(X_1 + X_3)$, $J = (x - t^2/2, z, u - t, w, \eta)$. Представление решения

$$\xi = x - t^2/2, \quad u = \varphi(\xi, z) + t, \quad w = w(\xi, z), \quad \eta = \eta(\xi).$$

Фактор-система E/H

$$1 + \varphi\varphi_\xi + w\varphi_z + \eta_\xi = 0, \quad \varphi\eta_\xi + \gamma\eta(\varphi_\xi + w_z) = 0, \quad w|_{z=0} = w|_{z=1} = 0. \quad (4.8)$$

5. $H(X_4)$, $J = (xt^{-1}, z, u, tw, \eta)$. Представление решения

$$\xi = xt^{-1}, \quad u = u(\xi, z), \quad w = \varphi(\xi, z)t^{-1}, \quad \eta = \eta(\xi).$$

Фактор-система E/H

$$(u - \xi)u_\xi + \varphi u_z + \eta_\xi = 0, \quad (u - \xi)\eta_\xi + \gamma\eta(u_\xi + \varphi_z) = 0, \quad \varphi|_{z=0} = \varphi|_{z=1} = 0. \quad (4.9)$$

6. $H(X_3 + X_4)$, $J = (xt^{-1} - \ln t, z, u - \ln t, tw, \eta)$. Представление решения

$$\xi = xt^{-1} - \ln t, \quad u = \varphi(\xi, z) + \ln t, \quad w = \psi(\xi, z)t^{-1}, \quad \eta = \eta(\xi).$$

Фактор-система E/H

$$(\varphi - \xi - 1)\varphi_\xi + \psi\varphi_z + \eta_\xi + 1 = 0,$$

$$(\varphi - \xi - 1)\eta_\xi + \gamma\eta(\varphi_\xi + \psi_z) = 0, \quad \psi|_{z=0} = \psi|_{z=1} = 0.$$

7. $H(X_1 + X_5)$, $J = (x \exp(-t), z, u \exp(-t), w, \eta \exp(-2t))$. Представление решения

$$\xi = x \exp(-t), \quad u = \varphi(\xi, z) \exp(t), \quad w = w(\xi, z), \quad \eta = s(\xi) \exp(2t).$$

Фактор-система E/H

$$\varphi + (\varphi - \xi)\varphi_\xi + w\varphi_z + s_\xi = 0, \quad 2s + (\varphi - \xi)s_\xi + \gamma s(\varphi_\xi + w_z) = 0, \quad w|_{z=0} = w|_{z=1} = 0.$$

8. $H(X_2 - X_4 + X_5)$, $J = (t \exp(x), z, tu, tw, t^2\eta)$. Представление решения

$$\xi = t \exp(x), \quad u = t^{-1}\varphi(\xi, z), \quad w = t^{-1}\psi(\xi, z), \quad \eta = t^{-2}s(\xi).$$

Фактор-система E/H

$$-\varphi + \xi(\varphi + 1)\varphi_\xi + \psi\varphi_z + \xi s_\xi = 0, \quad -2s + \xi(\varphi + 1)s_\xi + \gamma s(\xi\varphi_\xi + \psi_z) = 0, \quad \psi|_{z=0} = \psi|_{z=1} = 0.$$

9. $H(\alpha X_1 + X_5)$, $J = (t^{-(\beta+1)}x, z, t^{-\beta}u, tw, t^{-2\beta}\eta)$, $\beta = \alpha^{-1}$. Представление решения

$$\xi = t^{-(\beta+1)}x, \quad u = t^{2\beta}\varphi(\xi, z), \quad w = t^{-1}\psi(\xi, z), \quad \eta = t^{2\beta}s(\xi).$$

Фактор-система E/H

$$(\varphi - (1 + \beta)\xi)\varphi_\xi + \psi\varphi_z + s_\xi + \beta\varphi = 0, \quad (4.10)$$

$$(\varphi - (1 + \beta)\xi)s_\xi + \gamma s(\varphi_\xi + \psi_z) + 2\beta s = 0, \quad \psi|_{z=0} = \psi|_{z=1} = 0.$$

При $\alpha = 0$ имеем $J = (t, z, x^{-1}u, w, x^{-2}\eta)$. Представление решения

$$u = x\varphi(t, z), \quad w = w(t, z), \quad \eta = x^2s(t).$$

Фактор-система E/H

$$\varphi_t + w\varphi_z + \varphi^2 + 2s = 0, \quad s_t + \gamma sw_z + (2 + \gamma)\varphi s = 0, \quad w|_{z=0} = w|_{z=1} = 0. \quad (4.11)$$

Инвариантные решения. Подмодель (4.6). Решение $u = u(z)$, $w = 0$, $\eta = \eta_0$ описывает сдвиговые течения жидкости ($u = u(y)$, $v = 0$, $h = \text{const}$).

Подмодель (4.7). Интегрирование уравнений (4.7) и обращение замены (4.2) дает решение уравнений (1.4) $u = (\varphi(tx) + x)/t$, $v = -y/t$, $h = c/t$ ($c = \text{const}$), описывающее сжатие канала давлением [12].

Подмодель (4.8). Решения, инвариантные относительно переноса по времени и преобразования Галилея, удобнее искать в эйлерово-лагранжевых переменных. Действительно, для уравнений (1.7) фактор-система имеет вид

$$\left(\frac{\varphi^2}{2} + p \left(\int_0^1 H d\lambda \right) + \xi \right)_\xi = 0, \quad (\varphi H)_\xi = 0,$$

где $\varphi(\xi, \lambda) = u - t$; $\xi = x - t^2/2$. Отсюда находим $u = t \pm \sqrt{2(C(\lambda) - \xi - p(h))}$, $H = (u - t)^{-1}$, функция $h(\xi)$ определяется из уравнения

$$h - \int_0^1 \frac{d\lambda}{\sqrt{2(C(\lambda) - \xi - p(h))}} = 0.$$

Такие решения, описывающие течения с критическим слоем ($u - t$ обращается в нуль), аналогичны полученным в [12] для уравнений вихревой мелкой воды.

Подмодель (4.5). Для построения стационарных решений удобнее использовать уравнения движения в форме (1.7). По аналогии с подмоделью (4.8) интегрирование уравнений сводится к определению функции $h(x)$ из конечного соотношения. Такие решения (при $p(h) = h$) исследовались в [11].

Подмодель (4.10). Уравнения (4.10) допускают растяжение $\xi \rightarrow a\xi$, $\varphi \rightarrow a\varphi$, $s \rightarrow a^2s$. Соответствующее инвариантное решение подмодели имеет вид

$$\varphi = \xi A(z), \quad \psi = B(z), \quad s = s_0 \xi^2. \quad (4.12)$$

Для определения функций $A(z)$ и $B(z)$ получаем уравнения

$$A^2 - A + A'B + 2s_0 = 0, \quad (2 + \gamma)A - 2 + \gamma B' = 0, \quad B(0) = B(1) = 0. \quad (4.13)$$

Из системы (4.13) исключим функцию $B(z)$:

$$B(z) = \frac{A(z) - A^2(z) - 2s_0}{A'(z)}. \quad (4.14)$$

При этом функция $A(z)$ должна удовлетворять уравнению

$$(A^2 - A + 2s_0) \frac{d^2 A}{dz^2} + \left(\frac{2}{\gamma} - 1 \right) (A - 1) \left(\frac{dA}{dz} \right)^2 = 0.$$

Обозначим $\lambda_1 = (1 - \sqrt{1 - 8s_0})/2$, $\lambda_2 = (1 + \sqrt{1 - 8s_0})/2$ и поменяем ролями переменные A и z . Тогда

$$(A - \lambda_1)(A - \lambda_2) \frac{d^2 z}{dA^2} + \left(\frac{2}{\gamma} - 1 \right) (A - 1) \frac{dz}{dA} = 0.$$

В силу (4.14) граничные условия выполнены, если $z = 0$ при $A = \lambda_2$ и $z = 1$ при $A = \lambda_1$. Удобно ввести новую переменную $\tau = (\lambda_2 - A)(\lambda_2 - \lambda_1)^{-1}$. Функция $z(\tau)$ удовлетворяет уравнению

$$\tau(1 - \tau) \frac{d^2 z}{d\tau^2} + \left(\frac{2}{\gamma} - 1\right) \left(\tau + \frac{\lambda_1}{\lambda_2 - \lambda_1}\right) \frac{dz}{d\tau} = 0. \quad (4.15)$$

Решение уравнения (4.15) дается неполной бета-функцией $\beta(a, b, \tau) = \int_0^\tau t^{a-1} (1-t)^{b-1} dt$ ($a > 0, b > 0$). Возвращаясь к переменной A и удовлетворяя граничным условиям, получаем

$$z(A) = \frac{\beta(a, b, (\lambda_2 - A)/(\lambda_2 - \lambda_1))}{\beta(a, b, 1)}, \quad a = \frac{\gamma - \lambda_1(\gamma + 2)}{\gamma(\lambda_2 - \lambda_1)}, \quad b = \frac{2 - \lambda_1(\gamma + 2)}{\gamma(\lambda_2 - \lambda_1)}. \quad (4.16)$$

Условия $a > 0, b > 0$ выполнены, если

$$\gamma > 0, \quad 0 < s_0 < \frac{1}{8} \left(1 - \left(\frac{2 - \gamma}{2 + \gamma}\right)^2\right).$$

Таким образом, формулы (4.16), (4.14) и (4.12) определяют решение подмодели (4.10).

Подмодель (4.9). По аналогии с подмоделью (4.10) будем искать решение уравнений (4.9) в виде

$$u = \xi A(z), \quad \varphi = B(z), \quad \eta = s_0 \xi^2. \quad (4.17)$$

Тогда для нахождения функций $A(z)$ и $B(z)$ получается система (4.13), и, следовательно, частное решение подмодели (4.9) дается формулами (4.17), (4.16) и (4.14).

Подмодель (4.11). Фактор-система (4.11) инвариантна относительно растяжения $t \rightarrow a^{-1}t, \varphi \rightarrow a\varphi, w \rightarrow aw, s \rightarrow a^2s$, поэтому ее решение можно представить в виде

$$\varphi = t^{-1}A(z), \quad w = t^{-1}B(z), \quad s = s_0 t^{-2}. \quad (4.18)$$

Функции $A(z)$ и $B(z)$ удовлетворяют уравнениям (4.13), и частное решение подмодели выражается формулами (4.18), (4.16), (4.14).

Подмодель (4.8). Уравнения (4.8) допускают растяжение $\xi \rightarrow a^2\xi, \varphi \rightarrow a\varphi, w \rightarrow a^{-1}w, \eta \rightarrow a^2\eta$. Это позволяет искать частное решение подмодели в виде

$$\varphi = |\xi|^{1/2} A(z), \quad w = |\xi|^{-1/2} B(z), \quad \eta = \eta_0 \xi. \quad (4.19)$$

Пусть $\xi < 0, -1 < \eta_0 < 0$. Подставляя (4.19) в (4.8), получаем уравнение для нахождения функций $A(z), B(z)$

$$-A^2/2 + A'B + 1 + \eta_0 = 0, \quad (1/2 + 2/\gamma)A - B' = 0, \quad B(0) = B(1) = 0.$$

Выразим $B(z)$ из первого уравнения системы:

$$B = (A^2/2 - 1 - \eta_0)/A'^2, \quad (4.20)$$

подставим $B'(z)$ во второе уравнение и поменяем ролями переменные A и z . Тогда для нахождения функции $z(A)$ имеем уравнение

$$(\mu^2 - A^2) \frac{d^2 z}{dA^2} + A \left(\frac{4}{\gamma} - 1\right) \frac{dz}{dA} = 0, \quad (4.21)$$

где $\mu = \sqrt{2(1 + \eta_0)}$. Для выполнения граничных условий необходимо потребовать, чтобы при $A = \mu$ и $A = -\mu$ переменная z обращалась в нуль и единицу соответственно. Поэтому интересующее нас решение (4.21) имеет вид

$$z(A) = \frac{\beta(2/\gamma + 1/2, 2/\gamma + 1/2, (\mu - A)/(2\mu))}{\beta(2/\gamma + 1/2, 2/\gamma + 1/2)} \quad (\gamma > 0, \quad \gamma < -4). \quad (4.22)$$

Формулы (4.22), (4.20) и (4.18) определяют частное решение подмодели (4.11).

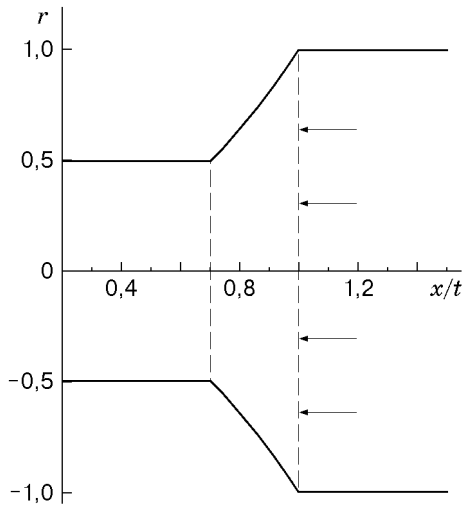


Рис. 1

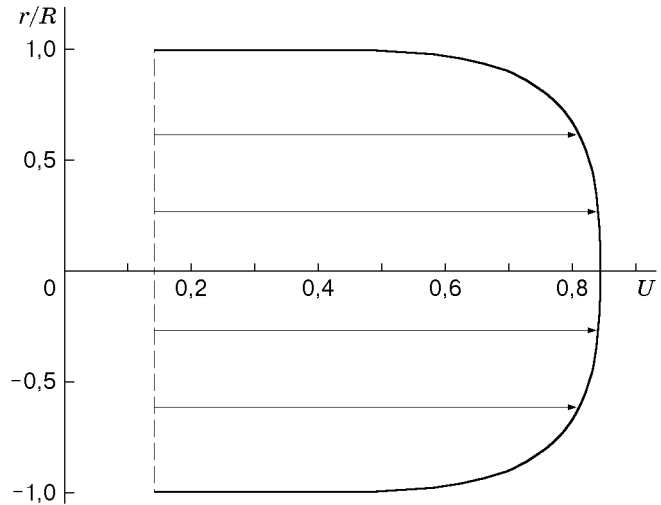


Рис. 2

Характерные режимы течения. Построенные решения подмоделей (4.8)–(4.11) относятся к классу простых волн (3.12). Остановимся подробнее на решении подмодели (4.9) (решения других подмоделей аналогичны). Согласно (4.17), (4.1) и (4.2) рассматриваемое решение системы (1.4) имеет вид

$$u = \frac{x}{t} A\left(\frac{y}{h}\right), \quad v = \frac{h}{t} B\left(\frac{y}{h}\right) + \frac{2}{\gamma t} \left(\frac{s_0}{C_1}\right)^{1/\gamma} \left(\frac{x}{t}\right)^{2/\gamma} \left(A\left(\frac{y}{h}\right) - 1\right), \quad h = \left(\frac{s_0}{C_1}\right)^{1/\gamma} \left(\frac{x}{t}\right)^{2/\gamma}, \quad (4.23)$$

где функции A и B определены формулами (4.16), (4.14). Величина $k = -h_t/h_x = x/t$ совпадает с большим корнем характеристического уравнения (2.4), вычисленным на решении (4.23). Следовательно, $u - k < 0$, и при прохождении простой волны по сдвиговому потоку $u = u_0(y)$, $v = 0$, $h = h_0$ частицы жидкости попадают в область простой волны справа. Пусть $\gamma = 1/2$, $C_1 = s_0$ и примыкание простой волны к сдвиговому потоку осуществляется по характеристике $x/t = \text{const} = 1$. В области простой волны происходит уменьшение избыточного давления и ускорение потока (относительно волны). При этом эластичная трубка сужается (рис. 1). Пусть при $x/t = \xi_*$ избыточное давление обращается в нуль, тогда дальнейшее течение описывается сдвиговым потоком, примыкающим к простой волне по характеристике $x/t = \xi_*$. Профиль осевой компоненты скорости U в зависимости от отношения радиальной координаты r к безразмерному радиусу трубки R при $x/t = 1$ показан на рис. 2. При других значениях параметров $\gamma > 0$ и s_0/C_1 характер течения качественно не меняется.

ЛИТЕРАТУРА

1. Педли Т. Гидродинамика крупных кровеносных сосудов. М.: Мир, 1983.
2. Волобуев А. Н. Течение жидкости в трубках с эластичными стенками // Успехи физ. наук. 1995. Т. 165, № 2. С. 177–186.
3. Тешуков В. М. О гиперболичности уравнений длинных волн // Докл. АН СССР. 1985. Т. 284, № 3. С. 555–562.
4. Овсянников Л. В. Групповой анализ дифференциальных уравнений. М.: Наука, 1978.
5. Тешуков В. М. Модель длинноволновой аппроксимации для сдвигового течения газа в канале переменного сечения // ПМТФ. 1998. Т. 39, № 1. С. 15–27.

6. **Benney D. J.** Some properties of long nonlinear waves // Stud. Appl. Math. 1973. V. 52. P. 45–50.
7. **Захаров В. Е.** Уравнения Бенни и квазиклассическое приближение в методе обратной задачи // Функцион. анализ и его прил. 1980. Т. 14, вып. 2. С. 15–24.
8. **Тещуков В. М.** Длинные волны в завихренной баротропной жидкости // ПМТФ. 1994. Т. 35, № 6. С. 17–26.
9. **Тещуков В. М.** Простые волны на сдвиговом потоке идеальной несжимаемой жидкости со свободной границей // ПМТФ. 1997. Т. 38, № 2. С. 48–57.
10. **Sachdev P. L., Varugheze Ph.** Invariance group properties and exact solutions of equations describing time-dependent free surface flows under gravity // Quart. Appl. Math. 1986. V. 43, N 2. P. 465–482.
11. **Varley E., Blythe P. A.** Long eddies in sheared flows // Stud. Appl. Math. 1983. V. 68. P. 103–187.
12. **Чесноков А. А.** Точные решения уравнений вихревой мелкой воды // ПМТФ. 1997. Т. 38, № 5. С. 44–55.
13. **Чесноков А. А.** Вихревые движения жидкости в узком канале // ПМТФ. 1998. Т. 39, № 4. С. 38–49.
14. **Далецкий Ю. Л., Крейн М. Г.** Устойчивость решений дифференциальных уравнений в банаховом пространстве. М.: Наука, 1970.

Поступила в редакцию 21/XII 2000 г.
